

6638

PRZEMYSŁOWY INSTYTUT AUTOMATYKI I POMIARÓW
-MERA-PIAP

Al. Jerozolimskie 202 02-222 Warszawa Telefon 23-70-81

ZESPÓŁ AUTOMATYKI ELEKTRONICZNEJ

074
Główny wykonawca

prof. dr inż. Tadeusz Missala *Missala* A

Wykonawcy

mgr inż. Wojciech Klimasara
prof. dr Tadeusz Missala

Konsultant

Nr zlecenia K-210

Piezoelektryczny mikroprzetwornik wykonawczy dla robotów przemysłowych. Opracowanie i wykonanie prototypu zespołu napędowego piezoelektrycznego do zwierciadła uchylnego spawarek laserowych dla robotów i urządzenia sterującego-zasilającego.

Pkt.kontr.Nr 2. Wykonanie dokumentacji technicznej do prototypu zespołu napędowego.

Zleceniodawca

Komitet Badań
Naukowych

Pracę rozpoczęto dnia 01.01.1991

zakończono dnia 28.02.1991

Kierownik Zespołu

Z-ca Dyrektora d/s
Badawczo-Rozwojowych

J. Korytkowski
doc.dr inż. J.Korytkowski

J. Jablkowski
dr inż. J.Jablkowski

Praca zawiera:

Rozdzielnik - ilość egz:

stron 12

Egz. 1 BOINTE

rysunków 4

Egz. 2 ZAE

fotografii -

Egz. 3 OAR

tabel -

Egz. 4 ORC

tablic -

Egz. 5

załączników 2

Egz. 6

Nr rejestr. 6638

1

Analiza deskryptorowa

~~WZJAWISKO~~ ^{KA} PIEZOELEKTRYCZNE
+ PRZETWORNIKI WYKONAWCZE + ROBOTY PRZEMYSŁOWE + SPAWARKI +
LASERY.

Analiza dokumentacyjna

Przedstawiono dokumentację wykonawczą mikroprzesuwnika napędzającego lustro skansera dla spawarki laserowej lub innych urządzeń optycznych (mikroskopów, urządzeń do nanoszenia napisów itp.). Dokumentacja zawiera obliczenia oraz rysunki warsztatowe.

Tytuły poprzednich sprawozdań

1. Piezoelektryczny mikroprzetwornik wykonawczy dla robotów przemysłowych P.K.1. Rozpoznanie stanu techniki na świecie na podstawie literatury i opów patentowych. Rozpoznanie dostępności materiałów. Opracowanie założeń do budowy modelu laboratoryjnego mikroprzetwornika. Nr rej. 6417
2. Piezoelektryczny mikroprzetwornik wykonawczy dla robotów przemysłowych P.K.2 Opracowanie dokumentacji szkiecowej, wykonanie i badania wstępne modelu laboratoryjnego mikroprzetwornika i bloku sterowania. Określenie zakresu i harmonogramu dalszych prac. Nr rej. 6543
3. Piezoelektryczny mikroprzetwornik wykonawczy dla robotów przemysłowych P.K.1. Opracowanie i wykonanie prototypu zespołu napędowego piezoelektrycznego do zwierciadła uchylnego spawarek laserowych dla robotów i urządzenia sterująco-zasilającego.
1.1. Opracowanie założeń do budowy prototypów zespołu napędowego i zasilacza. Nr rej. 6610

621.3.082.75 Zjawisko piezoelektryczne
UKD 338.45 62/69 002 11.2 Roboty przemysłowe
PIAP 41/88 10000

SPIS TREŚCI

1. Wstęp
 2. Obliczenia parametrów geometrycznych skanera.
 - 2.1. Określenie sztywności sprężyny zwrotnej.
 - 2.2. Określenie długości ramienia dźwigni.
 - 2.3. Określenie obciążenia przetwornika siłami bezwładności.
 - 2.4. Określenie wymiarów geometrycznych sprężyny zwrotnej.
 - 2.4.1. Maksymalne naprężenia w sprężynie.
 - 2.4.2. Grubość sprężyny.
 3. Wyznaczenie częstotliwości rezonansowej.
 4. Wnioski.
 5. Literatura.
- Załączniki:
1. Parametry przetwornika PND-50/800.
 2. Dokumentacja konstrukcyjna skanera.

1. Wstęp

1. W sprawozdaniu nr 6610 przedstawiono schemat konstrukcyjny ^{głowicy} skanera (Rys.8).

Zwierciadło jest zamocowane na dźwigni dwuramiennej. Jeden z końców dźwigni połączony jest łącznikiem z dźwignią jednoramienną na którą działa trzpień przetwornika piezoelektrycznego napięcie-deformacja.

2. Po wstępnej analizie powyższego rozwiązania autorzy doszli do wniosku, że konstrukcja powyższa posiada tą wadę, że jest zbyt skomplikowana wykonawczo, zaś złożony łańcuch kinematyczny oraz związane z nim masy mogą ograniczyć częstotliwość rezonansową skanera do wartości uniemożliwiającej jego stabilną pracę przy założonej częstotliwości pracy 1kHz.
3. Poszukiwano prostszej konstrukcji wolnej od wady wymienionej w p.2.

Wynikiem tych poszukiwań jest konstrukcja której schemat przedstawiono na rys.1 niniejszego sprawozdania.

W rozwiązaniu tym zwierciadło stanowi wypolerowaną powierzchnię czołową walca 2 umocowanego sprężysto na belce połączonej z korpusem 1 mieszczącym przetwornik napięcie deformacja. Trzpień przetwornika zakończony stalową, hartowaną kulka działa na walec 2 w punkcie A wytwarzając moment zginający belkę i powodujący wychylenie zwierciadła o kąt $\Delta\alpha$ (rys.2 i 3). Belka stanowiąca mocowanie zwierciadła do korpusu stanowi jednocześnie sprężynę zwrotną.

Właściwy dobór wymiarów belki pozwala na rezygnację z dodatkowej sprężyny oraz śruby adiustacyjnej (sprawozdanie nr 6610 rys.8).

4. Do napędu lustro zastosowano przetwornik przesunięcie-deformacja prod. Zakładów Ceramiki Radiowej - CERAD.
Charakterystykę przetwornika przedstawiono w Zał.1.

5. Obliczenia konstrukcyjne umieszczone w niniejszym sprawozdaniu zawierają:
- obliczenia geometrycznych i wytrzymałościowych belki stanowiącej zamocowanie zwierciadła.
 - obliczenia częstotliwości rezonansowej skanera.
- Obliczenia te potwierdzają uwagę p.2 wstępu.

2.1. Określenie sztywności sprężyny zwrotnej

Przy pełnym wychyleniu zwierciadła o kąt $\Delta \alpha$ (Rys.2) siły w p.A równoważą się, tzn.

$$F_{\text{spr}} = F_{\text{stosu}} \quad (1)$$

$$F_{\text{spr}} = C_S \cdot \Delta X$$

$$F_{\text{stosu}} = C_T \cdot \Delta X_O \cdot \left(1 - \frac{C_T}{C_T + C_S}\right) \quad (2)$$

gdzie F_{stosu} - siła działania przetwornika

napięcie - deformacja na zwierciadło w p.A po podaniu maksymalnego napięcia.

ΔX - wydłużenie przetwornika obciążonego siłą F_{sp} pod wpływem maksymalnego napięcia.

ΔX_O - wydłużenie przetwornika nieobciążonego pod wpływem maksymalnego napięcia.

Ponieważ

$$\Delta X = \Delta X_O \cdot \left(1 - \frac{C_T}{C_T + C_S}\right) \quad (3)$$

ze wzorów 2) i 3) wynika, że

$$C_S = C_T \quad (4)$$

$$\Delta X = \frac{\Delta X_O}{2} \quad (5)$$

2.2 Określenie długości ramienia dźwigni OA.

Ramię dźwigni OA (rys.1 i 2) dające pełne wychylenie zwierciadła o kąt $\Delta \alpha$ pod wpływem maksymalnego napięcia powinno mieć długość a:

gdzie a :

$$a = \frac{\Delta X}{\Delta \alpha} = \frac{\Delta X_0}{2\Delta \alpha} \quad (6)$$

$$a = \frac{50 \cdot 10^{-9}}{2 \cdot 10 \cdot 10^{-9}} \approx 2,5 \text{ mm}$$

2.3. Określenie obciążenia przetwornika siłami bezwładności.

W p.A przetwornik obciążony jest siłą bezwładności pochodząca od momentu bezwładności zwierciadła.

Zakładając, że:

J_0 - moment bezwładności zwierciadła względem osi przechodzącej w p.0 (rys.1)

$$J_0 = M \cdot \frac{\frac{3}{4}D^2 + b^2}{12} \quad (7)$$

Gdzie M - masa zwierciadła

$$M = \frac{\pi}{4} D^2 \cdot b \cdot \xi$$

ξ - gęstość stali ($7,8 \frac{9}{\text{cm}^3}$)

Stąd

$$J_0 = \frac{\pi}{48} \cdot \xi \cdot D^2 \cdot b \cdot \left(\frac{3}{4} D^2 + b^2\right) \quad (8)$$

Zwierciadło o momencie bezwładności J_0 stanowi dla przetwornika obciążenie siłami bezwładności od zastępczej masy M' :

$$M' = \frac{J_0}{a^2}$$

stad

$$M' = \frac{\pi}{48} \cdot \xi \cdot D^2 \cdot \frac{b}{a^2} \cdot \left(\frac{3}{4} D^2 + b^2\right) \quad (9)$$

Traktując belkę na której mocowane jest zwierciadło jako sprężynę płaską można wyznaczyć jej sztywność $C_S = \frac{F}{\Delta X}$ (rys.3) na podstawie parametrów geometrycznych.

Dla zginanej belki

$$E \cdot J \cdot \frac{1}{\xi} = F \cdot a \quad (10)$$

gdzie:

E - moduł Younga

J - moment bezwładności zginanego przekroju belki

ξ - promień zakrzywienia belki

$$\xi = \frac{e}{\Delta\alpha} \quad (11)$$

Pamiętając, że $J = \frac{D \cdot h^3}{12}$

wstawiając do wzoru 10 otrzymujemy

$$\Delta\alpha = \frac{12 \cdot F \cdot a \cdot e}{E \cdot D \cdot h^3}$$

ponieważ $\Delta\alpha \cdot a = \Delta X$

otrzymujemy:

$$C_S = \frac{F}{\Delta X} = \frac{D \cdot E \cdot h^3}{12 \cdot a^2 \cdot e} \quad (12)$$

2.4. Określenie wymiarów geometrycznych sprężyny zwrotnej.

2.4.1. Maksymalne naprężenia w sprężynie

Ponieważ $C_S = C_T$ ze wzoru (12) wynika, że:

$$h = \sqrt[3]{\frac{12 \cdot C_T a^2 \cdot e}{(D-S) \cdot E}} \quad (13)$$

Naprężenia maksymalne σ_{\max} występujące w skrajnych włóknach sprężyny (Rys.3) wyznacza się ze wzoru

$$\sigma_{\max} = \frac{M_{g\max}}{W} \ll \text{kg} \quad (14)$$

gdzie:

kg - naprężenia dopuszczalne

stąd:

$$\sigma_{\max} = \frac{6 \cdot \Delta X \cdot C_T \cdot a}{(D-s) \cdot h^2} \quad (15)$$

Wstawiając h wg wzoru (13) do wzoru (15) otrzymujemy:

$$\sigma_{\max} = \frac{6 \cdot \Delta X \cdot C_T \cdot a}{(D-S) \cdot \left[\frac{12 \cdot C_T \cdot a^2 \cdot e}{(D-S) \cdot E} \right]^{\frac{2}{3}}} \quad (16)$$

Po uporządkowaniu otrzymujemy:

$$\sigma_{\max} = 6 \cdot (12)^{-\frac{2}{3}} \cdot E^{\frac{2}{3}} \cdot C_T^{\frac{1}{3}} \cdot a^{-\frac{1}{3}} \cdot \Delta X \cdot (D-S)^{-\frac{1}{3}} \cdot e^{-\frac{2}{3}} \ll \text{kg}$$

Po wstawieniu wartości liczbowych:

$$\Delta X = 50 \cdot 10^{-6} \text{ [m]}$$

$$a = 2,5 \cdot 10^{-3} \text{ [m]}$$

$$C_T = 100 \frac{\text{N}}{\mu\text{m}} = 10^8 \left[\frac{\text{N}}{\text{m}^2} \right]$$

$$E = 2,1 \cdot 10^{11} \left[\frac{\text{N}}{\text{m}^2} \right]$$

$$k_g = 200 \cdot 10^6 \left[\frac{\text{N}}{\text{m}^2} \right]$$

$$\begin{aligned} \sigma_{\max} &= 6 \cdot (12)^{-\frac{2}{3}} \cdot (2,1)^{\frac{2}{3}} \cdot 10^{11 \cdot \frac{2}{3}} \cdot 10^{\frac{8}{3}} \cdot 50 \cdot 10^{-6} \cdot (2,5)^{\frac{1}{3}} \times \\ &\quad \times 10^{-3 \cdot (-\frac{1}{3})} \cdot (D-S)^{\frac{1}{3}} \cdot e^{\frac{2}{3}} \leq 200 \cdot 10^6 \end{aligned}$$

$$\sigma_{\max} = 1,3831 \cdot 10^6 (D-S)^{-\frac{1}{3}} \cdot e^{\frac{2}{3}} \leq 200 \cdot 10^6$$

Zakładając, że:

$$D = 20\text{mm}, S = 10\text{mm}$$

$$1,3831 \cdot 10^{-2 \cdot (-\frac{1}{3})} \cdot e^{\frac{2}{3}} \leq 144,60$$

stąd:

$$e = (31,15)^{\frac{3}{2}} = 0,00575 \text{ [m]}$$

$$\underline{e = 5,75 \text{ mm}}$$

2.4.2. Grubość sprężyny

Wstawiając wartość e do wzoru (13) obliczamy grubość sprężyny:

$$h = \sqrt[3]{\frac{12 \cdot 10^8 \cdot 2,5^2 \cdot 10^{-6} \cdot 5,75 \cdot 10^3}{10^{-2} \cdot 2,1 \cdot 10^{11}}}$$

$$h = \sqrt[3]{\frac{12 \cdot 2,5^2 \cdot 5,75}{2,1} \cdot 10^{-10}} = \sqrt[3]{2,0535 \cdot 10^{-8}} = 0,002738 \text{ [m]}$$

$$\underline{h = 2,7 \text{ [mm]}}$$

3. Wyznaczenie częstotliwości rezonansowej

Zakłada się, że maksymalna częstotliwość pracy f_{\max} (1kHz) powinna być conajmniej 3 krotnie mniejsza od częstotliwości rezonansowej f_o' skanera. Przyjmuje się więc że $f_{\max} \leq \frac{1}{3} f_o'$.
Częstotliwość f_o' skanera wyznacza się ze wzoru

$$f_o' = f_o \cdot \sqrt{\frac{m}{m + 2M}} \quad (17)$$

gdzie

m - masa przetwornika

M - masa obciążenia zewnętrznego (Rys.4b)

f_o - częstotliwość rezonansowa przetwornika nieobciążonego zewnętrznymi siłami bezwładności

$$f_o = \frac{1}{2\pi} \cdot \sqrt{\frac{C_T}{mef}} \quad (18)$$

M

gdzie:

$$m_{ef} = \frac{m}{2}$$

Dla przetwornika PND-50/800 (wg zał.1)

$$f_o = \frac{1}{2\pi} \sqrt{\frac{100 \cdot 10^6 \frac{\text{kgm}}{\text{s}^2 \cdot \text{m}}}{\frac{1}{2} \cdot 0,135 \text{ kg}}} = 6,1 \cdot 10^3 \text{ Hz}$$

$$f_o = 6,1 \text{ kHz}$$

Zakładając, że $b = 7 \text{ mm}$

oraz wstawiając wyrażenia 9) i 17) do wzoru 18) otrzymujemy:

$$f_o' = \frac{1}{2\pi} \cdot \sqrt{\frac{2 \cdot C_T}{m + \frac{\pi}{24} \cdot \rho \cdot D^2 \cdot \frac{b}{a} \cdot (\frac{3}{4} D^2 + b^2)}} \geq 3 f_{\max} \quad (19)$$

Po wstawieniu wartości liczbowych:

$$m = 0,135 [\text{kg}]$$

$$\rho = 7,8 \cdot 10^3 \left[\frac{\text{kg}}{\text{m}^3} \right] \quad (\text{dla stali})$$

$$f_o' = \frac{1}{2\pi} \sqrt{\frac{2 \cdot 10^6}{0,135 + \frac{\pi}{24} \cdot 7,8 \cdot 10^3 \cdot 2^2 \cdot 10^{-4} \cdot \frac{7 \cdot 10^{-2}}{2,5^2 \cdot 10^{-6}} \cdot (\frac{3}{4} \cdot 4 \cdot 10^{-4} + 0,49 \cdot 10^{-4})}}$$

$$f_o' = 4697 \text{ Hz} \approx 4,7 \text{ kHz}$$

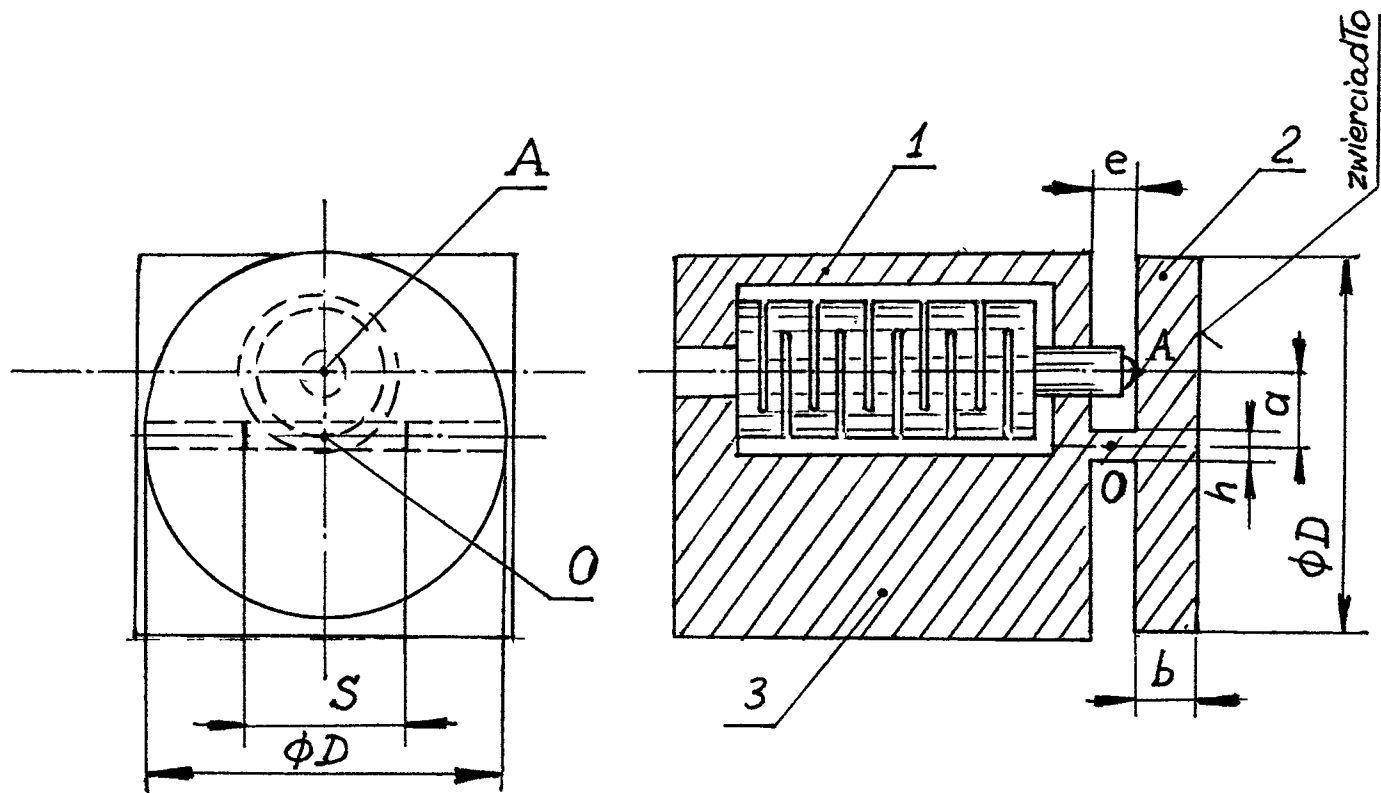
$f_o' > 3f_{\max}$ warunek wyrażony wzorem (19) został spełniony

4. Wnioski

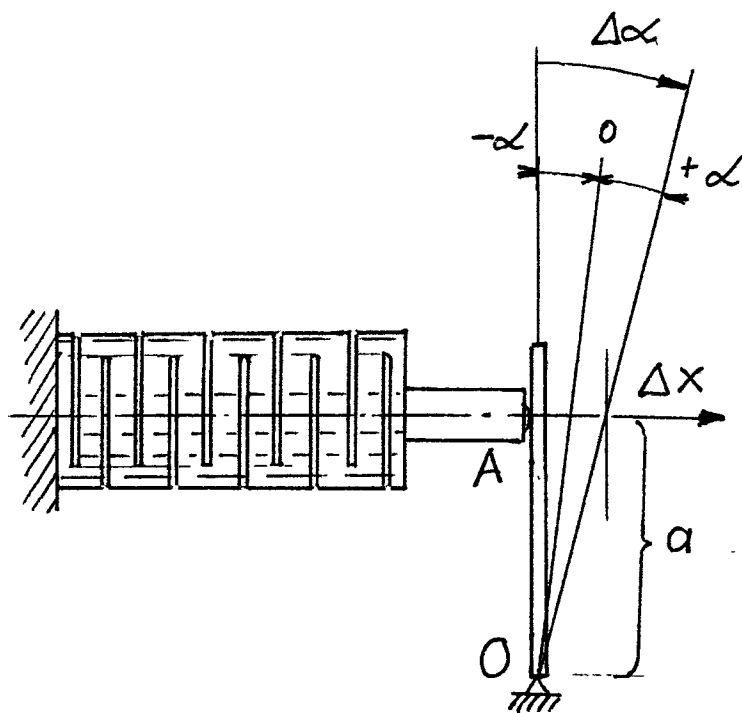
1. Obliczenia potwierdzają uwagę p.2 wstępu. Wg przeprowadzonych obliczeń częstotliwość rezonansowa skanera wg rys.1 wynosi 4,7 kHz. Należy wnioskować, że częstotliwość rezonansowa skanera wg rys.8 (sprawozdanie 6610) byłaby znacznie niższa ze względu na większą złożoność konstrukcji oraz związaną z tym bezwładnością elementów konstrukcyjnych.
2. Z przeprowadzonych rozważań wynika, że parametry geometryczne skanera są ściśle związane z parametrami zastosowanego przetwornika piezoelektrycznego napięcie - deformacja. Wymiary geometryczne skanera wg załączonej dokumentacji wynikają z zastosowanego przetwornika prod. Zakładów CERAD.

Literatura

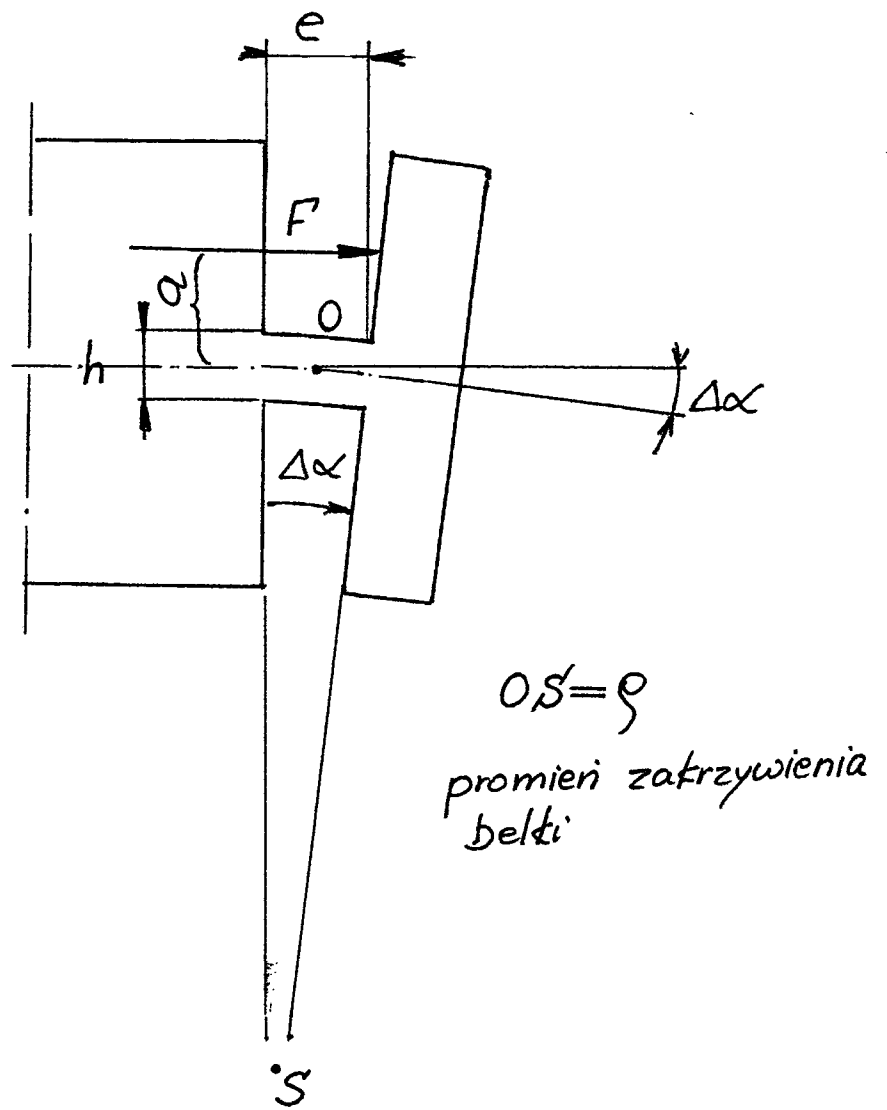
1. Missala T. i inni: Piezoelektryczny mikroprzetwornik wykonawczy dla robotów przemysłowych P.K.1.
Sprawozdanie nr rej.6417. Warszawa, styczeń 1990r.
2. Missala T. i inni: Piezoelektryczny mikroprzetwornik wykonawczy dla robotów przemysłowych.Pkt.kontr.1.
Sprawozdanie nr rej.6610. Warszawa, luty 1991r.
3. Katalog firmy Physik Instrumente.



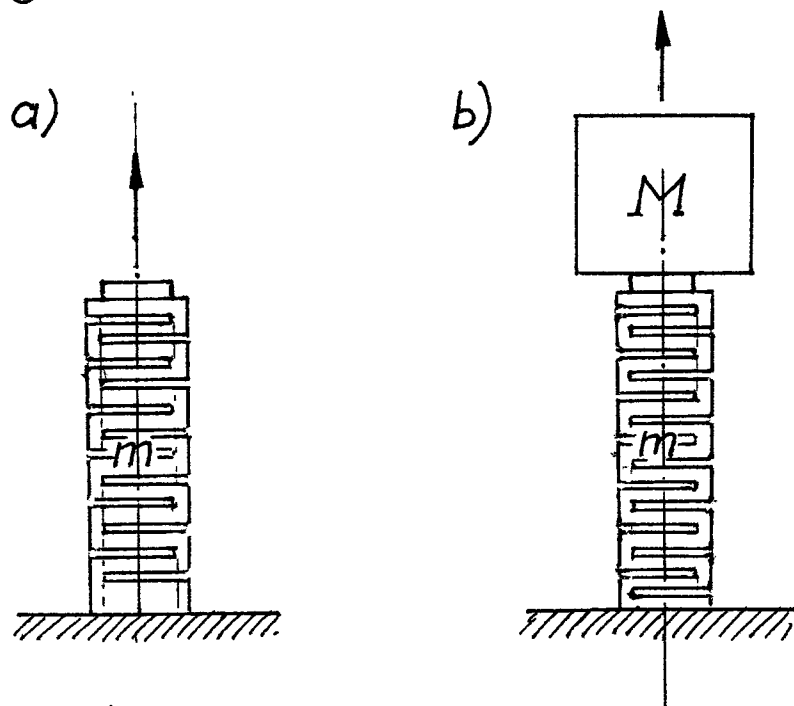
Rys 1. Schemat konstrukcyjny skanera



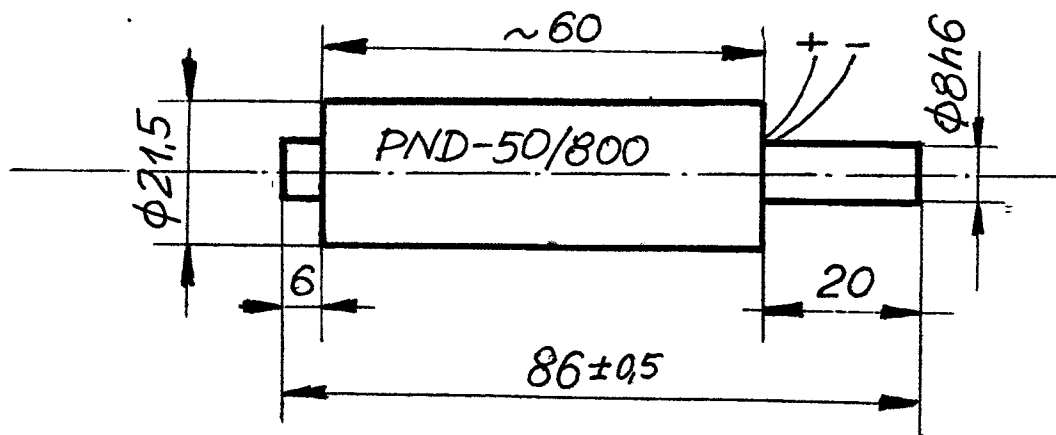
Rys 2. Schemat kinematyczny



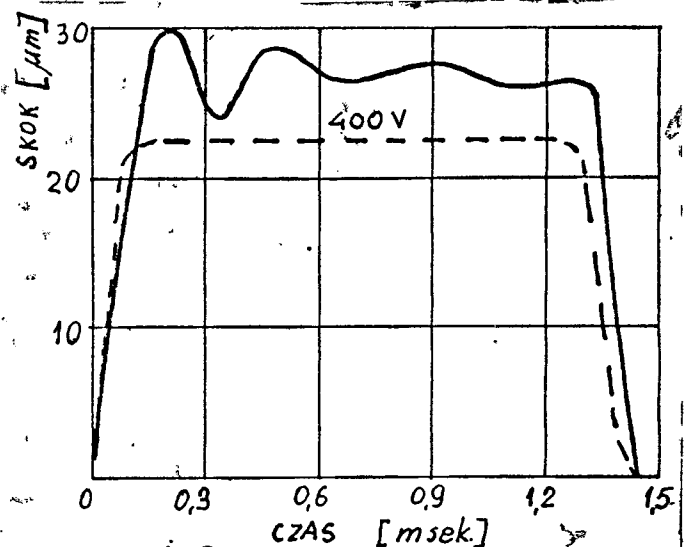
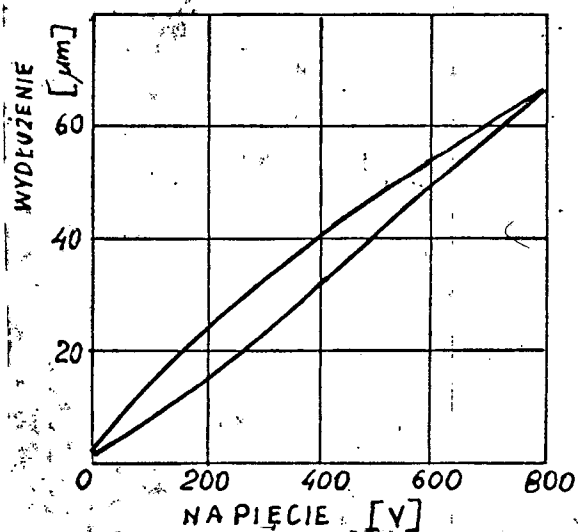
Rys 3. Odkształcenie belki

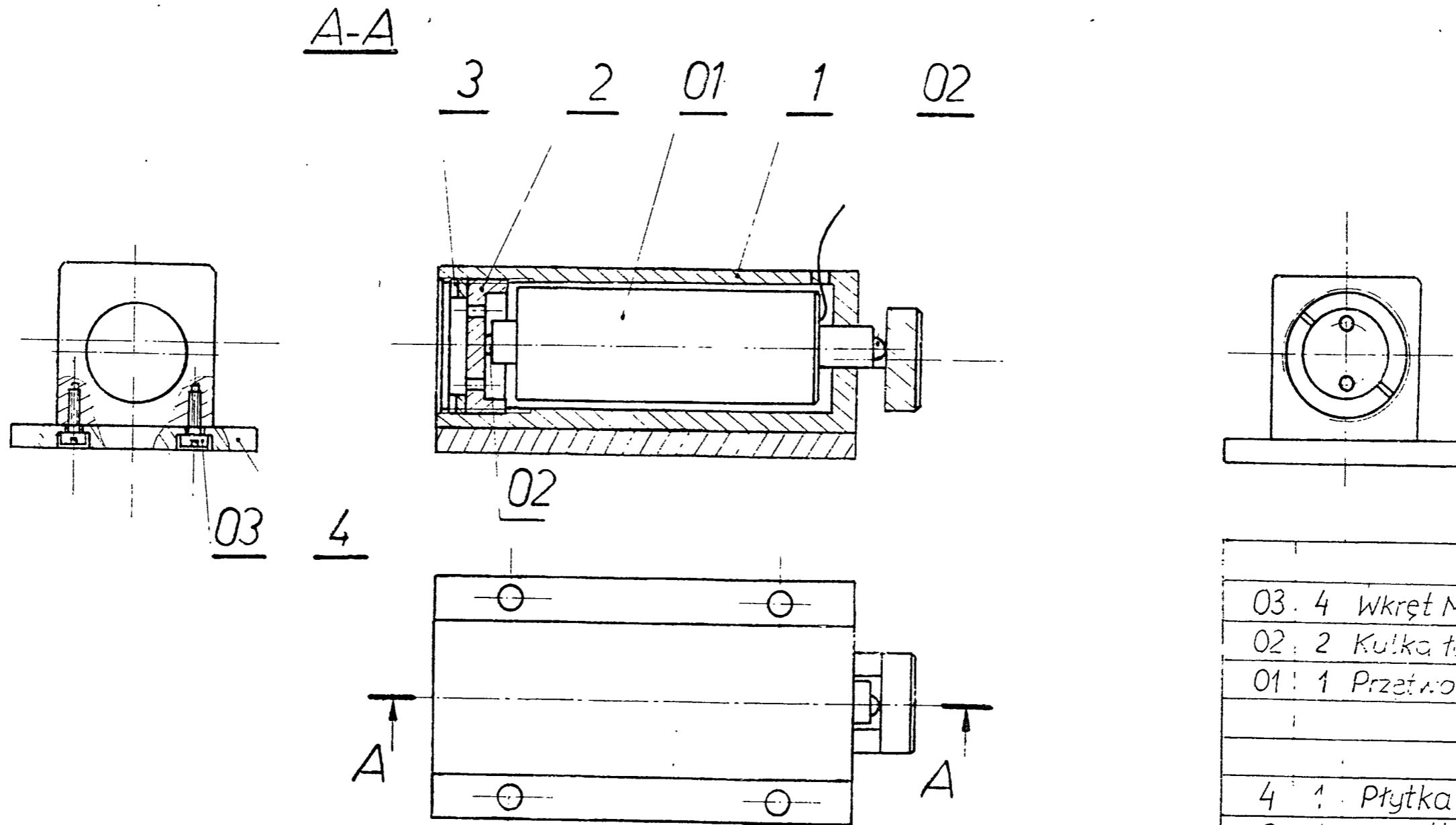


Rys 4. Przetwornik
 a - nieobciążony
 b - obciążony masą M

Przetwornik napięcie-deformacjaProd. Z-dy Ceramiki Radiowej CERAD, W-wa

Parametr	Jedn.	Wartość
Długość x Średnica	mm x mm	60 x 18
Deformacja /skok/ 0-500V 0-800V	μm	30 50
Pojemność statyczna	nF	320
Sztywność C_T	N/ μm	100
Średnie wydłuż. na 1V	$\mu\text{m}/\text{V}$	0,06
Maksym. siła ściskająca	N	3000
Masa m	kg	0,135

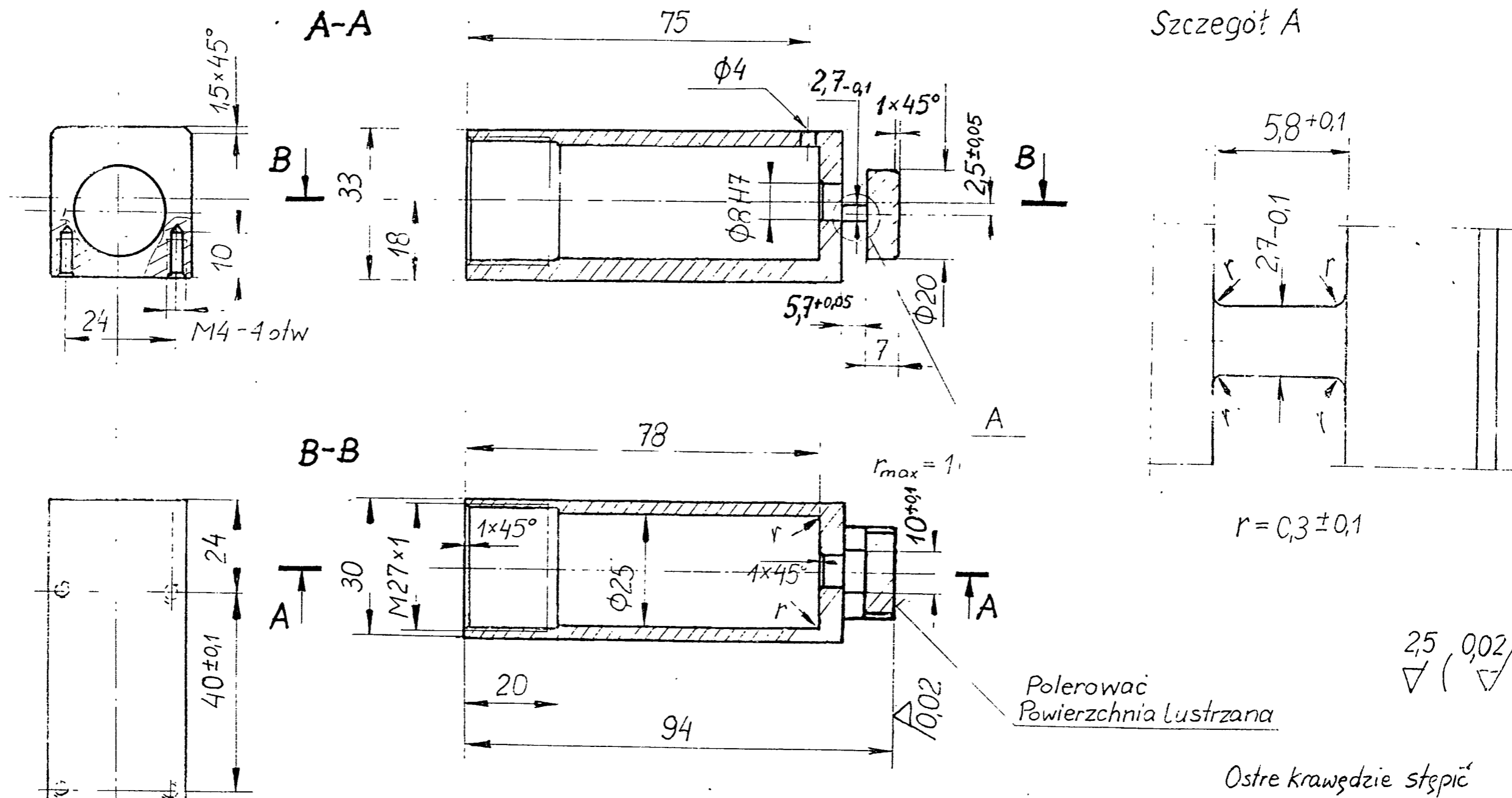




03	4	Wkręt M4x8	PN-74 M-82231
02	2	Kulka tożysk $\phi 4$	
01	1	Przetwornik	Producent CERAD
4	1	Płytko	
3	1	Wkrętka	
2	1	Wkrętka	
1	1	Korpus	

Nr części lub resp.	Ilość	Nazwa	Nr ark.	Uwagi
		Nazwa	Podziałka 1:1	
		Głowica skanera		Ciężar
		Materiał	Zastępuje rys. Nr	Nr ark.
			Zastąpiono przez rys. Nr	Nr rys. zest.
		Przemysłowy Instytut Automatyki i Pomiarów Warszawa	Nr rysunku 8841	Nr części 18
		Zakład OAR		

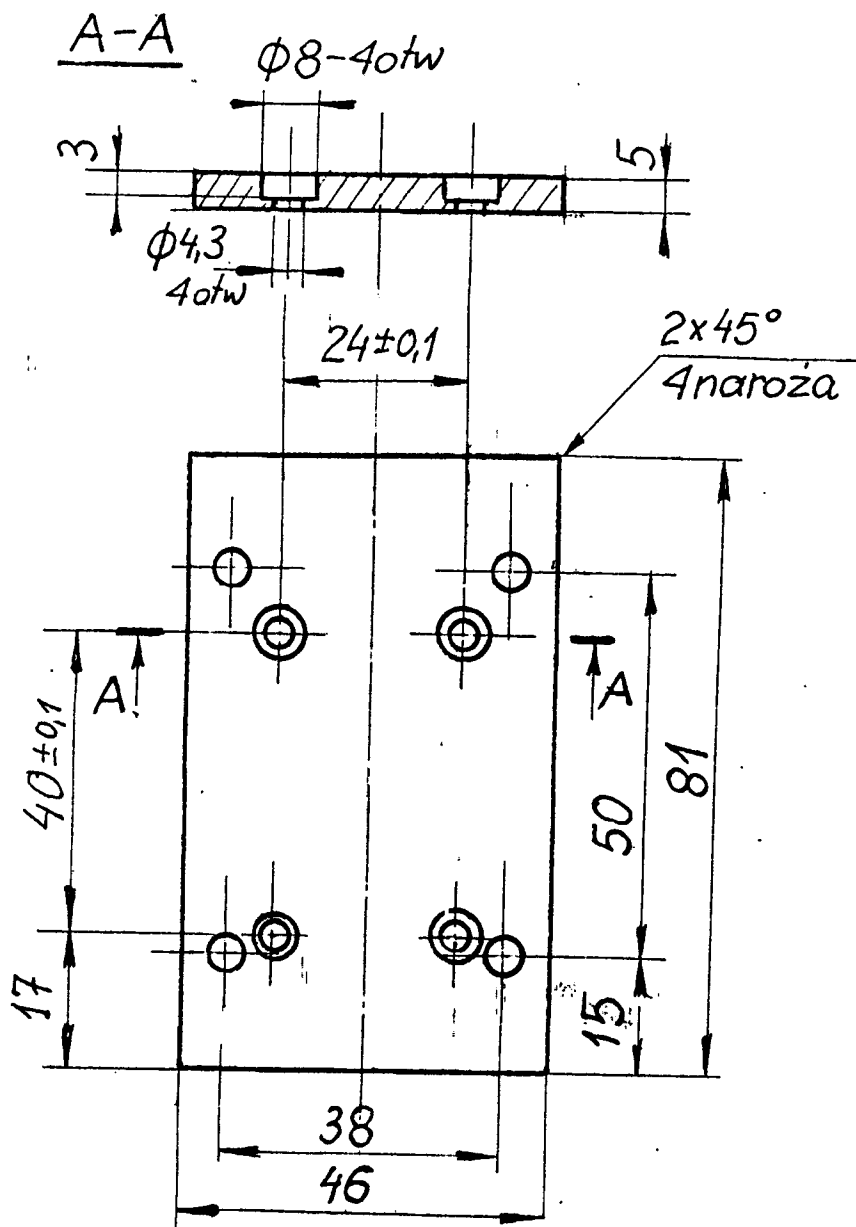
Nr części lub resp.	Ilość	Treść zmiany	Podpis	Data
Projektował	WK	W.K.LIMASARA		
Konstruował	WK	-II-		
Kreślił	W.K.	-II-		
Sprawdził				
Kier. Prac.				
Kier. Zakładu				



Nr części lub zesp.		Ilość	Nazwa	Nr ark.	Uwagi
Nazwa					Podziałka
Korpus					1:1
					Ciężar
Materiał		Zastępuje rys. Nr	Nr ark.		
1H18N9		Zastąpiono przez rys. Nr	Nr rys. zest.		
Przemysłowy Instytut Automatyki i Pomiarów Warszawa		Nr rysunku:	Nr części		
Zakład OAR		8841.1	191		
Projekował	WK	W. Klimasara			
Konstruował	WK				
Kreślił	WK				
Sprawił					
Kier. Prac.					
Kier. Zakładu					

Wymiary

Odchyłki



Anodować, czernić

2,5
 ∇
 Ostre krawędzie
 Stępic

Znak zmiany		Ilość zmian		Treść zmiany		Podpis	Data	Nr części lub zesp.	Ilość	Nazwa	Nr ark.	Uwagi
								Nazwa		Podziałka		1:1
								Płytki		Ciętar		
								Materiał		Zastępuje rys. Nr		Nr ark.
								PA7		Zastąpiono przez rys. Nr		Nr rys. zest.
								Przemysłowy Instytut Automatyki i Pomiarów Warszawa		Nr rysunku		Nr części
								Zakład OAR		8841.4		224
Projektował		WK		W. Klimasara								
Konstruował		WK										
Kreślił		WK										
Sprawdził												
Kier. Pracowni												
Kier. Zakładu												